

Borlanmış yüksek alaşımılı çeliklerde oluşan artık ısıl gerilmelerin sonlu elemanlar yöntemiyle belirlenmesi

Yasin Kuddusi Kutucu*, Ahmet Oğur, Yaşar Kahraman

Sakarya Üniversitesi, Mühendislik Fakültesi, Makine Mühendisliği, Sakarya

08.04.2013 Geliş/Received, 18.08.2013 Kabul/Accepted

ÖZ

Borlanan parçalarda oluşan kalıntı ısıl gerilmelerin kaplamalarda çatlama, ayrılma gibi olumsuz etkileri olmaktadır. Bu sebeple borlama neticesinde oluşan gerilmelerin ne boyutta olduğunun ve kaplama tabakasının kalınlığına bağlı olarak nasıl değiştiğinin belirlenmesi önem arz etmektedir. Bu çalışmada, yüksek alaşımılı çeliklerde borlama işlemi esnasında oluşan tek katmanlı borür tabakasının (Fe_2B) , parça üzerinde belirli bölgelerde oluşturduğu gerilmeler ve bu gerilmelerin tabaka kalınlığına bağlı değişimini sonlu elemanlar yöntemi kullanılarak incelenmiştir. Yapılan analizler neticesinde, oluşan gerilmelerin sıcaklık düşüşüne bağlı olarak arttığı görülmüştür. Fe_2B tabakasında basma gerilmeleri, buna karşılık çelik parçada çekme gerilmeleri oluştuğu gözlemlenmiştir. Ayrıca Tabaka kalınlığının artmasıyla borür tabakasında oluşan basma gerilmelerinin azaldığı, çelik parçada oluşan çekme gerilmelerinin ve borür tabakası ile altlık malzeme arasında oluşan kayma gerilmelerinin arttuğu tespit edilmiştir.

Anahtar Kelimeler: borlama, sonlu elemanlar, ısıl artık gerilme

The investigation of thermal residual stresses formed on borided high-alloy steels using finite elements method

ABSTRACT

Thermal residual stresses occurring in borided materials has some adverse effects like boride cracks and delaminations. Therefore it is important to detect level of stresses occurred after boriding and change mechanism depend on layer thickness. In this study, boride layer (Fe_2B) formation on high-alloy steels and effect of layer thickness on residual stress distribution have been investigated by using finite elements method systematically. The result of the FEM analysis revealed that, the thermal-induced residual stresses increase with decreasing temperature of the cooling process. The occurrence of compressive stresses on the boride layer and tensile stresses on the steel workpiece was deduced. It is also found that, with increasing layer thickness, the compressive stress on the boride layer decreases while tensile stress on steel workpiece and shear stress in the interlayer increases.

Keywords: boriding, finite elements method, thermal residual stress

* Sorumlu Yazar / Corresponding Author

Yazar e-postaları: ykutucu@sakarya.edu.tr ogur@sakarya.edu.tr kahraman@sakarya.edu.tr

1. GİRİŞ (INTRODUCTION)

Bilindiği gibi, birlama termokimyasal bir yüzey sertleştirme işlemi olup, bor atomlarının demir ve demir dışı metaller ile sermet malzeme üzerine yayındırılması temeline dayanmaktadır [1]. İşlem 700 ila 1000 °C sıcaklık aralığında 1 ila 12 saat süreyle uygulanmakta ve çelik malzeme üzerine yayılan bor atomları sert demir-bor fazı oluşturmaktadır. Birlama; katı toz, pasta, sıvı ve gaz ortamlarda yapılmaktadır. Bu yöntemlere ilaveten son yıllarda plazma birlama ve iyon implantasyon birlama yöntemleri de geliştirmiştir [2]. Birlama işlemi ile parça yüzeylerinde işlem şartları ve çeliğin kimyasal kompozisyonuna bağlı olarak 2000 – 2500 VSD sertlik değerlerine ulaşılabilir [3]. Bu işlem, yüksek alaşımı çelikler, yapı çelikleri, sementasyon çelikleri, korozyona dayanıklı çelikler, Armco demiri, gri dökme demir, küresel grafitli dökme demir, nikel ve sinterlenmiş demir gibi farklı malzeme gruplarına uygulanabilmektedir [3]. Malzeme yüzeyinde yüksek sertlik elde edilmesi yanında, düşük sürtünme katsayısı ve yüksek korozyon direnci sağlama ve birlama sonrası ana malzemeye ıslı işlem uygulanabilmesi birlamanın diğer yüzey sertleştirme yöntemlerinden üstün taraflarıdır. Bunun yanında plazma nitrürleme ve gaz karbürleme gibi diğer termokimyasal yüzey sertleştirme yöntemlerine nazaran daha maliyetli olması, dönen parçalarda yüzey yorulma karakteristiklerinin zayıf olması bu işlemin dezavantajları olarak sayılabilir [1]. Literatürde yüksek alaşımı çeliklerin yanı sıra yüksek hız çeliklerinin birlanma davranışları üzerine kapsamlı çalışmalar yer almaktadır. Bu çalışmada çeliğin kimyasal bileşimi ve miktarına bağlı olarak borus tabakasının morfolojisi ve kalınlığının değiştiği ifade edilmektedir [4], [5], [6].

2. SONLU ELEMANLAR MODELİ (FINITE ELEMENTS MODEL)

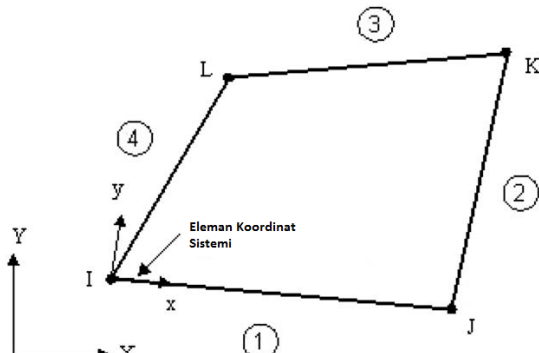
Çelik parçasının birlaması sonrası yüzeyinde oluşan Fe₂B borus tabakasındaki artik gerilmelerin incelenmesi amacıyla bir sonlu elemanlar modeli oluşturulmuştur. Sonlu eleman analizi için Ansys 14.0 yazılımı kullanılmıştır. Hem ıslı hem gerilme analizini aynı model üzerinde yapma imkanı sağlayan 4 noktalı 4 serbestlik dereceli, yüzey gerilmeli Plane 13 Eleman tipi kullanılmasına karar verilmiştir (Şekil 1). Bu eleman tipi, zamana bağlı (transient) analiz yapılmasına da olanak sağlamaktadır bu sayede gerilmelerin zamanla nasıl değiştiğini inceleme imkanı doğmaktadır.

Birlama neticesinde parça yüzeyinde Fe₂B ve FeB şeklinde farklı özelliklerde iki borus tabakası oluşmaktadır. Bu tabakaların yüzeye yakın bölgede oluşan FeB tabakası diğerine nazaran daha serttir fakat gevrek yapıda olması ve çekme türünde artik gerilmeler içermesi nedeniyle mekanik zorlanmalar altında çalışan parçalarda istenmemektedir [1], [7].

FeB tabakasının gevrekliği yanında çelik malzeme ve diğer borus tabakasından daha yüksek ıslı genleşme katsayısına sahip olması bu tabakada çatlak oluşma riskini artırmaktadır. Bu sebeple FeB tabakasının oluşmasını engellemeye yönelik birlama sonrası vakum ve tuz banyosunda ıslı işleme tabi tutma gibi yöntemler geliştirilmiştir [8].

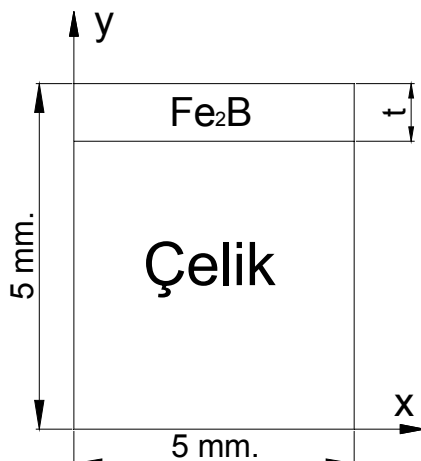
Birlama işlemine tabi tutulan çelik malzeme ile yüzeyde oluşan tek katmanlı Fe₂B borus tabakası arasında ıslı genleşme katsayısı farkından dolayı ıslı gerilmeler oluşmaktadır [9]. Bu ıslı gerilmelerin değerinin yapılan çalışmalarla 470-700 MPa aralığında basma yönünde olduğu saptanmıştır [10], [11]. Söz konusu fazın ıslı genleşme katsayısının çeliğe göre küçük olması nedeniyle soğuma sırasında çelik malzemeye uyumlu olarak şekil değişimi gösterememekte bu durum hem kaplama tabakası hem de (çelik) tabakada artik gerilmelerin oluşumuna yol açmaktadır.

Literatürde bazı tabaka kalınlıkları için birlanmış parçalarda oluşan termal artik gerilmelerin deneySEL yöntemlerle tespit edilen değerleri bulunmaktadır. Fakat sonlu elemanlar yöntemi kullanılarak bu gerilmelerin incelenmesi ve gerilme değerlerinin tabaka kalınlığına bağlı olarak nasıl değiştiğinin saptanması üzerine çalışmaların eksikliği göze çarpmaktadır. Bu çalışmada yüzeyinde tek katmanlı Fe₂B tabakası bulunan yüksek alaşımı çelik için tabaka kalınlığının termal artik gerilmeye olan etkisi sonlu elemanlar teknigi kullanılarak sistematik bir şekilde incelenmiştir.



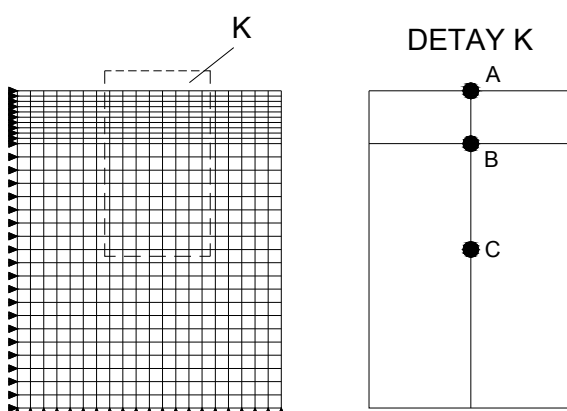
Şekil 1. Plane 13 eleman tipi (Plane 13 element type)

Analizin basitleştirilmesi için 5x5 mm² boyutlarında iki boyutlu (düzlemsel), çeyrek model hazırlanmıştır (Şekil 2).



Şekil 2. Model boyutları (Model dimensions)

Bu boyutlar deneysel borlama çalışmalarında kullanılan numune ebatlarına (10×10) karşılık gelmektedir [12], [13]. En doğru sonucu alabilmek için tüm model düzgün dörtgen (quadrilateral) elemanlara bölünmüştür (mapped mesh). Borur tabakasının hassas bir şekilde incelenmesi amacıyla bu tabaka daha sık ağı yapısı ile örtülmüştür (Şekil 3). Borlama üzerine yapılan deneysel çalışmalar incelenmiş, yüzeyde oluşan borur tabaka kalınlıkları (t) 20, 40, 60, 80 ve 100 μm için analizler yapılmasına karar verilmiştir. Belirli bölgelerdeki değişimi izlemek amacıyla, sonlu elemanlar modelinde, borur tabakası üst yüzeyinde A noktası, borur tabakası ile çelik arayüzeyinde B noktası ve çelik malzeme iç kısımına uzanan bölgede yüzeyden 1 mm. içerisinde C noktası tanımlanmıştır (Şekil 3).



Şekil 3. Sonlu elemanlar modeli şematik gösterimi (Schematic view of finite element model)

2.1. Matematiksel model ve kabuller (Mathematic model and assumptions)

Kaplama malzemelerde ıslı gerilmeler kaplama malzemesi ve altlık malzemenin ıslı genleşme katsayılarının farklı

olmasından dolayı oluşmaktadır ve iki boyutlu model için şu formül ile ifade edilmektedir [14]:

$$\sigma = E_k \Delta \alpha \Delta T \frac{1+v}{1-v^2} \quad (1)$$

Formülde σ , E_k , $\Delta \alpha$, ΔT ve v sırasıyla ıslı gerilme, kaplama malzemesinin elastiklik modülü, iki malzeme arasındaki ıslı genleşme katsayıları farkı, soğuma boyunca olan sıcaklık düşüşü ve kaplama malzemesinin poisson oranını temsил etmektedir.

Borlama işlemlerinde çelik ile borur tabakası arasında testere dışı görünümüne sahip bir profil oluşur. Modeli basitleştirmek amacıyla iki tabaka arayüzeyinin düz bir doğru şeklinde olduğu varsayılmıştır. Çelik ve Fe₂B borur tabakasının mekanik ve ıslı özellikleri Tablo 1 ve Tablo 2'de verilmiştir. Literatürde yeterli bilgi olmaması nedeniyle borur tabakasının özelliklerinin zamanla değişmediği kabul edilmiştir. Hem borur tabakası hem çelik malzemenin elastik bölgede kalacağı kabul edilerek tüm modeller için elastik analiz yapılmıştır.

Tablo 1. Fe₂B Mekanik ve ıslı özellikleri [7], [15] (Mechanical and thermal properties of Fe₂B)

Elastisite Modülü (Gpa)	285
Isı iletim katsayısı (W/mK)	17,4
Poisson Oranı	0,28
Yoğunluk (Kg/m³)	7430
Isı Genleşme Katsayı (10⁻⁶ m/mK)	9,2
Isı Kapasitesi (J/kgK)	650

Tablo 2. Yüksek alaşımı DIN/ISO 1,2344 çeliğin mekanik ve ıslı özellikleri [16], [17] (mechanical and thermal properties of high alloy steel DIN/ISO 1,2344)

Özellik	Sıcaklık (K)			
	293	423	593	753
Elastisite Modülü (Gpa)	210	205	195	170
Özellik	Sıcaklık (K)			
	293	623	973	
Isı iletim katsayısı (W/mK)	27	30	33	
Poisson Oranı	0,3			
Yoğunluk (Kg/m³)	780			
Isı Genleşme Katsayı (10⁻⁶ m/mK)	13,3			
Isı Kapasitesi (J/kg.K)	4600			

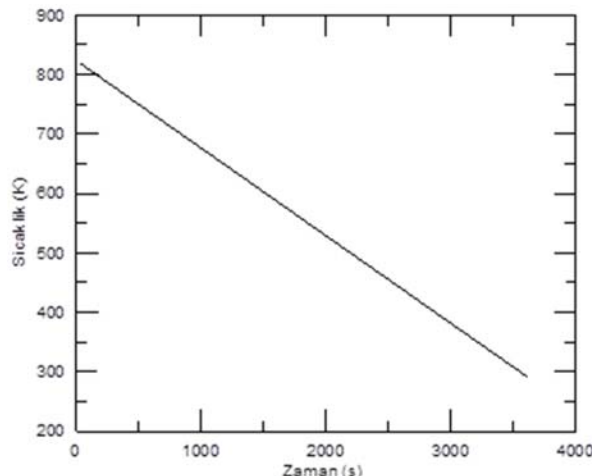
2.2. Sonlu elemanlar formülasyonu ve sınır şartları (Finite elements formulation and boundru conditions)

Kalıntı ıslı gerilmelerin hesaplanması sırasında kullanılan, temeli virtüel işler prensibine dayanan sonlu elemanlar formülasyonu şu şekildedir [18]:

$$\{\sigma\} = [C][B]\{\varepsilon\} - [C]\alpha_m\{\Delta T\} \quad (2)$$

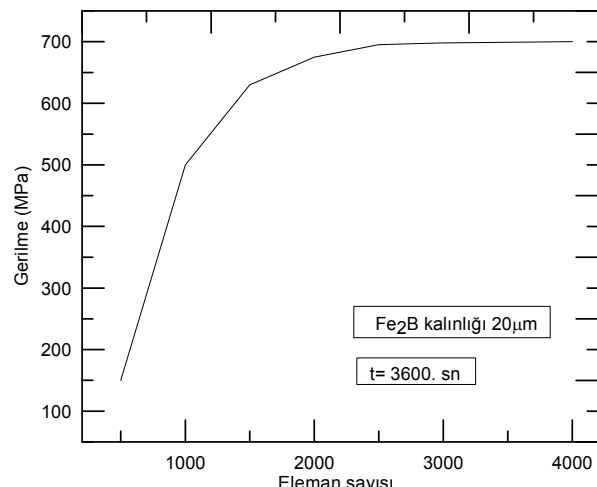
Bu denklemde $\{\sigma\}$ gerilme vektörünü, $[C]$ elastiklik matrisini $[B]$ gerinme-uzama interpolasyon matrisini, $\{\varepsilon\}$ gerilme vektörünü, α_m ısl genleşme katsayısını ve ΔT soğuma boyunca olan sıcaklık düşüşünü göstermektedir.

Modelin sol ve alt kenar çizgilerine simetri sınır koşulu tanımlanmıştır. Model üst yüzeyine uygulanan sıcaklığın zamanla değişimini gösteren grafik Şekil 4'te görülmektedir. Grafikten de anlaşılacağı gibi sıcaklık 3600 saniye içerisinde 823 K'den, oda sıcaklığı olan 293 K'e düşmektedir.



Şekil 4. Sonlu elemanlar modelinde parça üst yüzeyine uygulanan sıcaklık-zaman grafiği (Time-temperature diagram exposed to model upper surface)

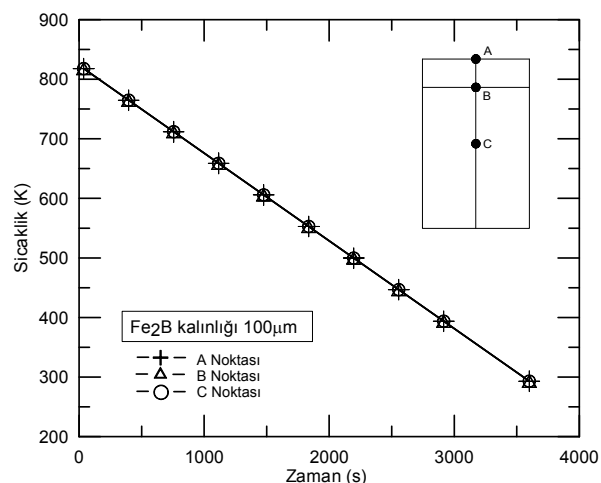
Analizlerde kullanılacak eleman sayısının uygunluğunu belirlemek adına ağ yapısı iyileştirme (mesh convergence) çalışmaları yapılmıştır. Ansys modelinde eleman sayısı artırılarak 20 mm tabaka kalınlığına sahip modelde A noktasındaki von-misses gerilmesinin değişimi izlenmiştir (Şekil 5). Sonuç olarak bu tabaka kalınlığı için uygun eleman sayısı 3000; buna bağlı olarak nokta sayısı 3111 olarak karar verilmiştir. Diğer tabaka kalınlıklarındaki modeller de 20 μm ile orantılı olacak şekilde; 40 μm için 3621 nokta, 3500 eleman; 60 μm için 4131 nokta, 4000 eleman; 80 μm için 4641 nokta, 4500 eleman; 100 μm için 5241 nokta, 5000 elemana ayrılmıştır.



Şekil 5. A noktasındaki von mises gerilmesinin eleman sayısına bağlı değişimi (Change of von-misses stress in the point A depend on total element number)

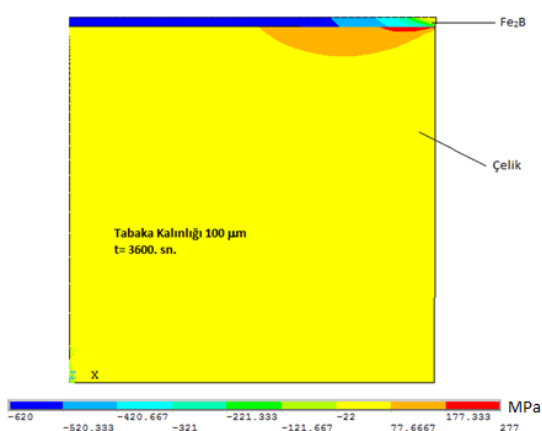
3. SONUÇLAR VE TARTIŞMA (CONCLUSIONS AND DISCUSSION)

100 μm tabaka kalınlığındaki parçanın, A, B ve C noktalarındaki sıcaklığın zamanla değişimi gösteren grafik Şekil 6'da görülmektedir. Parça boyutlarının küçük olması parça içerisinde sıcaklık farkının önemsiz mertebede kalmasına yol açmıştır. Parça dış yüzeyi ile iç kısımları arasındaki sıcaklık farkının 0,65 K civarında olduğu görülmüştür. Diğer tabaka kalınlıklarında ise bekleniği gibi sıcaklık farkları yok denecek kadar azdır. Dolayısıyla oluşan gerilmelerin tamamen bor tabakası ile çelik malzemenin ısl genleşme katsayılarının farklılığından kaynaklandığı anlaşılmaktadır. Bu durum benzer çalışmalarındaki sonuçlara da uymaktadır [18], [19].



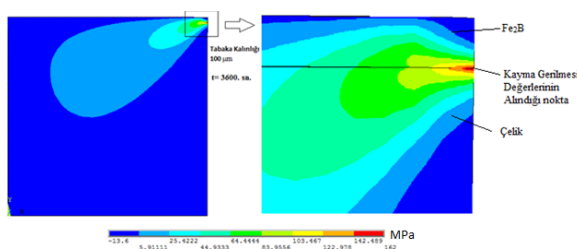
Şekil 6. A, B ve C noktalarındaki sıcaklıkların zamanla değişimi (Tabaka kalınlığı 100 μm) (Temperature change depend on time on A, B and C points for 100 μm layer thickness)

Şekil 7'de 100 μm tabaka kalınlığı ve $t=3600$ s için x yönünde gerilme dağılımı verilmiştir. Gerilmelerin borur tabakasında basma, çelik malzemedede çekme şeklinde olduğu görülmektedir. Simetri ekseni olmayan üç serbest şekil değiştirebildiği için gerilmenin işaretini doğal olarak değiştirmiştir. Çelik malzemenin ıslı genleşme katsayısının borur tabakasından yüksek olması nedeniyle, soğuma esnasında daha fazla büzülmekte bunun sonucunda çelik malzeme, borur tabakasına basma gerilmeleri uygulamaktadır.



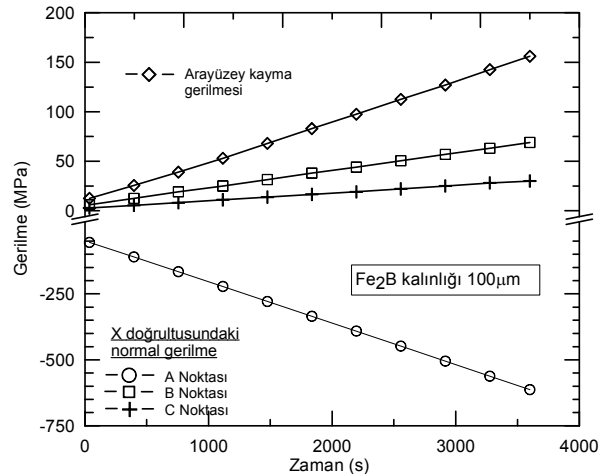
Şekil 7. x Yönündeki gerilme dağılımı (Tabaka Kalınlığı 100 μm , $t=3600$. sn.) (Stress distribution in x direction)

Şekil 8 ise xy düzlemindeki kayma gerilmesi dağılımını göstermektedir. Şekil 8 incelendiğinde gerilmenin, simetri ekseni olmayan serbest uçtaki ara yüzeyde en yüksek değerine ulaşlığı görülmektedir. Böylelikle zamana ve tabaka kalınlığına bağlı kayma gerilmesi değerlerinin bu noktadan alınması uygundur.



Şekil 8. xy düzleme kayma gerilmesi dağılımı (Tabaka Kalınlığı 100 μm , $t=3600$. sn.) (Shear stress distribution on xy plane)

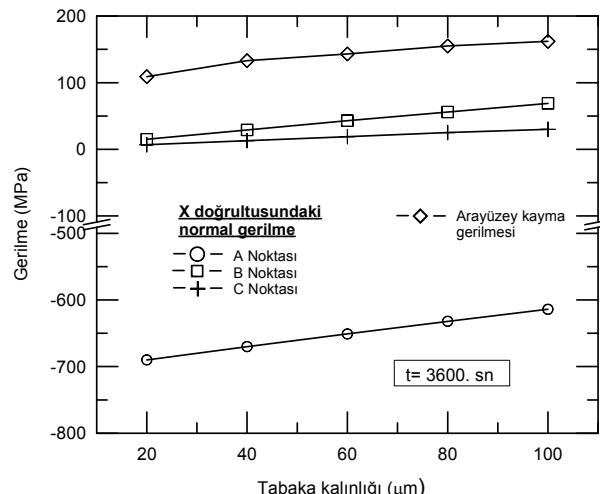
Şekil 9'da görüldüğü gibi, A noktasında basma yönünde olmak üzere tüm gerilmelerin değeri soğumaya bağlı olarak zamanla artmaktadır. Bunun sebebi; borur tabakası ile çelik malzemenin ıslı genleşme katsayılarının farklı olması sonucu, parça soğudukça büzülme miktarları arasındaki farkın artmasıdır.



Şekil 9. Gerilmelerin zamanla değişimi (tabaka kalınlığı 100 μm) (Stress change depend on time)

Gördüğü gibi en yüksek gerilmeler 3600. saniyede oluşmaktadır. Bu sebeple tabaka kalınlığına bağlı gerilme analizi için 3600. saniyedeki gerilme değerlerinin alınması uygun olacaktır.

Analiz sonuçlarından, A,B,C noktalarında x yönündeki gerilmeler ve Şekil 8'de gösterilen noktası için kayma gerilmesinin en yüksek değerleri ($t=3600$. sn.) alınmış ve tabaka kalınlığına bağlı değişimi grafiğe dökülmüştür (Şekil 10).



Şekil 10. Gerilmelerin tabaka kalınlığına bağlı olarak değişimi ($t=3600$ sn.) (Stress change depend on layer thickness)

Şekil 10'daki grafikte görüldüğü gibi borur tabakası üzerindeki A noktası için hesaplanan artık gerilmenin büyüklüğü artan tabaka kalınlığıyla azalmaktadır. Tabaka kalınlığının 20 mikrondan, 100 mikrona değişmesi durumunda, basma gerilmesinin büyütüğü 690 MPa değerinden 614 MPa düşmektedir. Literatürde, yüzeyinde tek katmanlı borur tabakası içeren çelikler

üzerinde yapılan deneysel çalışmalarдан borür tabakasındaki basma gerilmesinin 471 ile 700 MPa değerleri arasında değiştiği görülmüştür [10], [11]. Bu çalışmada 100 mikron kalınlığındaki borür tabakası için basma yönünde 614 MPa olarak bulunan gerilme değeri, aynı kalınlıktaki borür tabakası için literatürde deneysel çalışmalarla basma yönünde 600 MPa olarak tespit edilen gerilme değerine olukça yakındır [20]. Borür tabakasında basma gerilmelerinin oluşması beklenen bir durum olup, ıslı genleşme katsayısı yüksek olan çelik malzemenin soğuma esnasında x yönünde borür tabakasına göre daha fazla büzülmeye çalışması ve bunun sonucu olarak üstteki tabakayı sıkıştırması ile açıklanabilir [21]. Borür tabakası ile çelik ara yüzeyindeki B noktasında ise, gerilmenin çekme türünden olduğu ve büyülüğünün tabaka kalınlığıyla artarak 15 MPa'dan 69 MPa'a ulaşlığı görülmektedir (Şekil 10). C noktası da B noktasına benzer şekilde ancak büyülüğü nispeten daha düşük olan gerilmelerin etkisi altındadır. Arayüzey kayma gerilmesi ise tabaka kalınlığı arttıkça 109 MPa'dan 162 MPa değerine yükselmektedir.

4. GENEL SONUÇLAR (CONCLUSION)

Yüksek alaşımı çeliğin borlanması sonucu oluşan tek fazlı borür tabakasına ait yukarıda incelenen sonlu eleman analizlerinden başlıca şu sonuçlar çıkarılabilir:

- 1- Yapılan analizler neticesinde borür tabakasında basma, çelik malzemede çekme artık gerilmeleri olduğu saptanmıştır.
- 2- Tabaka kalınlığının artmasıyla borür tabakasında basma gerilmelerinin azaldığı ve arayüzeyde kayma gerilmelerinin arttığı görülmüştür. Kayma gerilmesinin artması tabaka ayrılması riskini doğurabilemektedir. Bu nedenle, bu tür yüzey işlemede tek fazlı borür tabakası oluşturulmuş olmasına rağmen, kalınlığın aşırı değerler almaması önerilir.
- 3- Modelleme ve sınır şartlarının doğru tanımlanması durumunda, borlanmış parçalarda soğuma esnasında oluşan ıslı gerilmelerin simülle edilebileceği anlaşılmıştır.

KAYNAKLAR (REFERENCES)

- [1] A. Sinha, «Boriding (Boronizing),» %1 içinde *J. Heat Treating, American Society for Metals*, Metals Park, OH, 1991.
- [2] S. Ünlü ve S. Yılmaz, «Bor ve borlanmanın kullanım alanları,» *Mühendis ve makina*, cilt 47, no. 552, 2005.
- [3] F. Karakullukçu, K. Genel ve M. İpek, «Dekarbüriazsyonun AISI H13 çeliğinin borlanma davranışına etkisi,» *Sakarya Fen Bilimleri Enstitüsü Dergisi*, 1992.
- [4] K. Genel, «Boriding kinetics of H13 steel,» *Vacuum*, cilt 80, no. 451-457, 2005.
- [5] S. Taktak, «Some mechanical properties of borided AISI H13 and 304 steels,» *Materials & Design*, cilt 28, pp. 1836-184, 2007.
- [6] V. Sista, O. Kahvecioğlu, L. Eryılmaz ve A. Erdemir, «Electrochemical boriding and characterization of AISI D2 tool steel,» *Thin Solid Films*, cilt 520, pp. 1582-1588, 2001.
- [7] M. Kulka ve A. Pertek, «Gradient formation of boride layers by borocarburizing,» *Applied surface science*, cilt 254, pp. 5281-5290, 2008.
- [8] İ. Özbek, *Borlama yöntemiyle AISI M50, AISI M2 yüksek hız çeliklerinin ve AISI W1 çeliğinin yüzey performansının geliştirilmesi*, Sakarya: Sakarya Üniversitesi, 1992.
- [9] T. Ericsson, «Residual stresses caused by thermal and thermochemical surface treatments,» *Advances in Surface Treatments*, cilt 4, pp. 110-112, 1985.
- [10] I. Campos-Silva, E. Hernández-Sánchez, G. Rodríguez-Castro, A. Rodríguez-Pulido, C. López-García ve M. Ortiz-Domínguez, «Indentation size effect on the Fe2B/substrate interface,» *Surface and Coatings Technology*, cilt 206, pp. 1816-1823, 2011.
- [11] L. Zhenzhan, W. Ziming ve S. Xichen, «The influence of internal stress and preferred orientation on the abrasive wear resistance of a boronized medium carbon steel,» *Wear*, cilt 138, pp. 285-294, 1990.
- [12] K. Genel, L. Özbeğ ve C. Bindal, «Kinetics of boriding of AISI W1 steel,» *Materials Science and Engineering*, cilt 347, pp. 311-314, 2003.
- [13] İ. Özbeğ ve C. Bindal, «Kinetics of borided AISI M2 high speed steel,» *Vacuum*, cilt 86, pp. 391-397, 2011.
- [14] Y. Wang, W. Tian, Y. Yang, G. C. Li ve L. Wang, «Investigation of stress field and failure mode of plasma sprayed Al2O3-13%TiO2 coatings under thermal shock,» *Materials Science and Engineering*, cilt 516, pp. 103-110, 2009.
- [15] B. Xiao ve J. Feng, «The elasticity, bondhardness and thermodynamic properties of X2B ($X=Cr, Mn, Fe, Co, Ni, Mo, W$) investigated by DF theory,» *Physica B*, cilt 405, pp. 1274-1278, 2010.
- [16] «Material Properties Data available on website,» [Çevrimiçi]. Available: <http://www.matweb.com>. [Erişildi: 20 Mayıs 2013].
- [17] «Material Properties Data available on website,» [Çevrimiçi]. Available: <http://www.schmolz.com>.

- bickenbach.de. [Erişildi: 20 Mayıs 2013].
- [18] F. Şen, O. Sayman, E. Çelik ve M. Toparlı, «Stress analysis of high temperature ZrO₂ insulation coatings on Ag using finite element method,» *Journal of Materials Processing Technology*, cilt 80, pp. 239-243, 2006.
 - [19] F. Sen, E. Çelik ve M. Toparlı, «Transient thermal stress analysis of CeO₂ thin films on Ni substrates using finite element methods for YBCO coated conductor,» *Materials and Desing*, cilt 28, pp. 708-712, 2007.
 - [20] R. Prümmer ve W. Pfeiffer, «Residual stresses in borided layers,» *Journal of the Less Common Metals*, cilt 117, pp. 411-414, 1986.
 - [21] A. Waheed ve F. Soliman, «Effect of Differential Thermal Expansion on Stress Generated in Coating,» *Journal of Material Science Technology*, 1999.